

Análisis físico y numérico del oscilador de Duffing acoplado

Eric Jesús Arciniegas Barreto
Santiago Suárez Sánchez

Universidad Distrital Francisco José de Caldas

2025

Objetivo general:

- Analizar la dinámica no lineal del oscilador de Duffing acoplado mediante simulaciones numéricas.

Objetivos específicos:

- Implementar un modelo numérico en C++ basado en el método de Runge–Kutta 4.
- Visualizar la evolución temporal, los espacios de fase y las secciones de Poincaré.
- Estimar el exponente de Lyapunov para caracterizar el régimen caótico.

Ecuaciones del sistema

$$m\ddot{x}_1 + \gamma\dot{x}_1 + \alpha x_1 + \beta x_1^3 + k(x_1 - x_2) = G_0 \cos(\omega t),$$

$$m\ddot{x}_2 + \gamma\dot{x}_2 + \alpha x_2 + \beta x_2^3 + k(x_2 - x_1) = 0.$$

- $\alpha < 0$: término restaurador lineal
- $\beta > 0$: no linealidad cúbica
- γ : fricción
- k : acoplamiento entre osciladores
- ω : frecuencia de la fuerza externa

Runge–Kutta de cuarto orden (RK4) para posiciones

$$x_{1,n+1} = x_{1,n} + \frac{1}{6}(k_1^x + 2k_2^x + 2k_3^x + k_4^x)$$

$$x_{2,n+1} = x_{2,n} + \frac{1}{6}(k_1^{x2} + 2k_2^{x2} + 2k_3^{x2} + k_4^{x2})$$

- $k_1^x = h y_{1,n}, \quad k_1^{x2} = h y_{2,n}$
- $k_2^x = h(y_{1,n} + l_1^1/2), \quad k_2^{x2} = h(y_{2,n} + l_1^2/2)$
- $k_3^x = h(y_{1,n} + l_2^1/2), \quad k_3^{x2} = h(y_{2,n} + l_2^2/2)$
- $k_4^x = h(y_{1,n} + l_3^1), \quad k_4^{x2} = h(y_{2,n} + l_3^2)$

Método Numérico: Velocidades (parte 1)

Runge–Kutta de cuarto orden (RK4) para velocidades

$$y_{1,n+1} = y_{1,n} + \frac{1}{6}(l_1^1 + 2l_2^1 + 2l_3^1 + l_4^1), \quad y_{2,n+1} = y_{2,n} + \frac{1}{6}(l_1^2 + 2l_2^2 + 2l_3^2 + l_4^2)$$

Primeros pasos de los incrementos:

$$l_1^1 = h f_1(t_n, x_{1,n}, x_{2,n}, y_{1,n}, y_{2,n})$$

$$l_1^2 = h f_2(t_n, x_{1,n}, x_{2,n}, y_{1,n}, y_{2,n})$$

$$l_2^1 = h f_1(t_n + h/2, x_{1,n} + k_1^x/2, x_{2,n} + k_1^{x^2}/2, y_{1,n} + l_1^1/2, y_{2,n} + l_1^2/2)$$

$$l_2^2 = h f_2(t_n + h/2, x_{1,n} + k_1^x/2, x_{2,n} + k_1^{x^2}/2, y_{1,n} + l_1^1/2, y_{2,n} + l_1^2/2)$$

Continuación de los incrementos

$$l_3^1 = h f_1(t_n + h/2, x_{1,n} + k_2^x/2, x_{2,n} + k_2^{x2}/2, y_{1,n} + l_2^1/2, y_{2,n} + l_2^2/2)$$

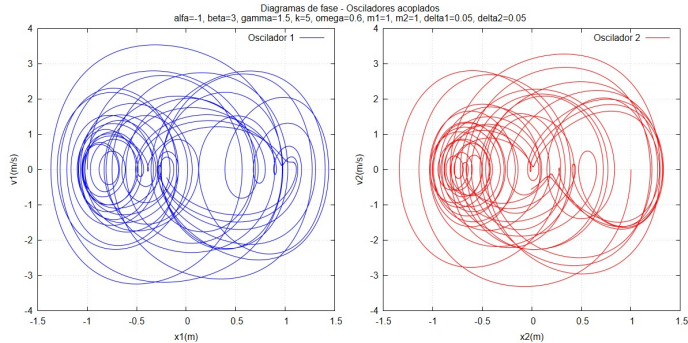
$$l_3^2 = h f_2(t_n + h/2, x_{1,n} + k_2^x/2, x_{2,n} + k_2^{x2}/2, y_{1,n} + l_2^1/2, y_{2,n} + l_2^2/2)$$

$$l_4^1 = h f_1(t_n + h, x_{1,n} + k_3^x, x_{2,n} + k_3^{x2}, y_{1,n} + l_3^1, y_{2,n} + l_3^2)$$

$$l_4^2 = h f_2(t_n + h, x_{1,n} + k_3^x, x_{2,n} + k_3^{x2}, y_{1,n} + l_3^1, y_{2,n} + l_3^2)$$

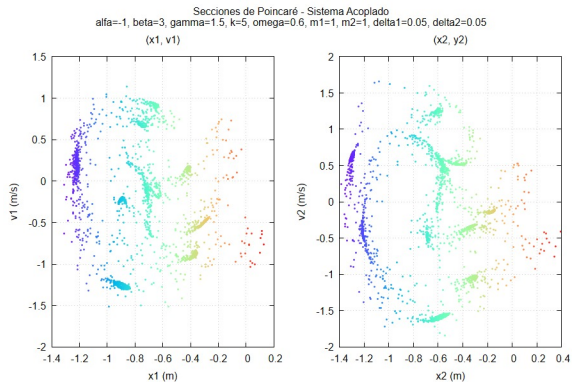
- Alta estabilidad y precisión en sistemas no lineales acoplados.
- Permite integrar simultáneamente ecuaciones de segundo orden.
- Implementado bajo POO en C++.

Resultados: Diagramas de Fase

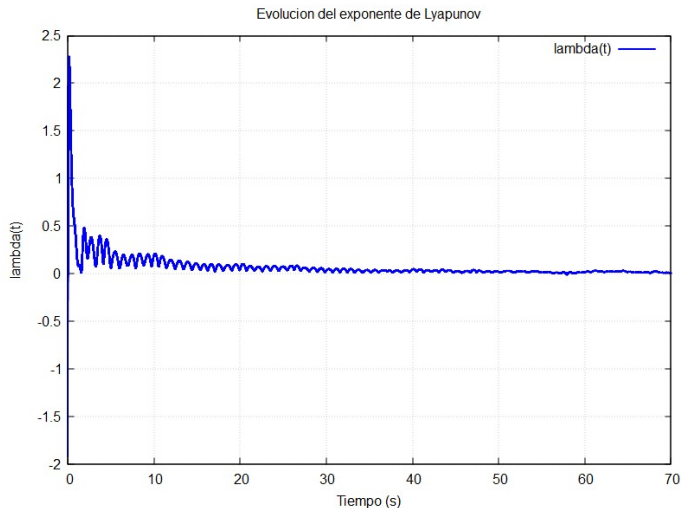


Las trayectorias (x_i, \dot{x}_i) muestran comportamientos periódicos, cuasiperiódicos y caóticos según los parámetros de acoplamiento y excitación.

Resultados: Sección de Poincaré



Resultados: Exponente de Lyapunov



Un $\lambda > 0$ confirma sensibilidad a condiciones iniciales y presencia de caos débil.

Conclusiones

- El acoplamiento lineal no elimina el caos, pero modula su intensidad.
- Se observan regiones de sincronización parcial y cuasiperiodicidad.
- El sistema sirve como laboratorio numérico para el estudio de la transición al caos.

Gracias por su atención.